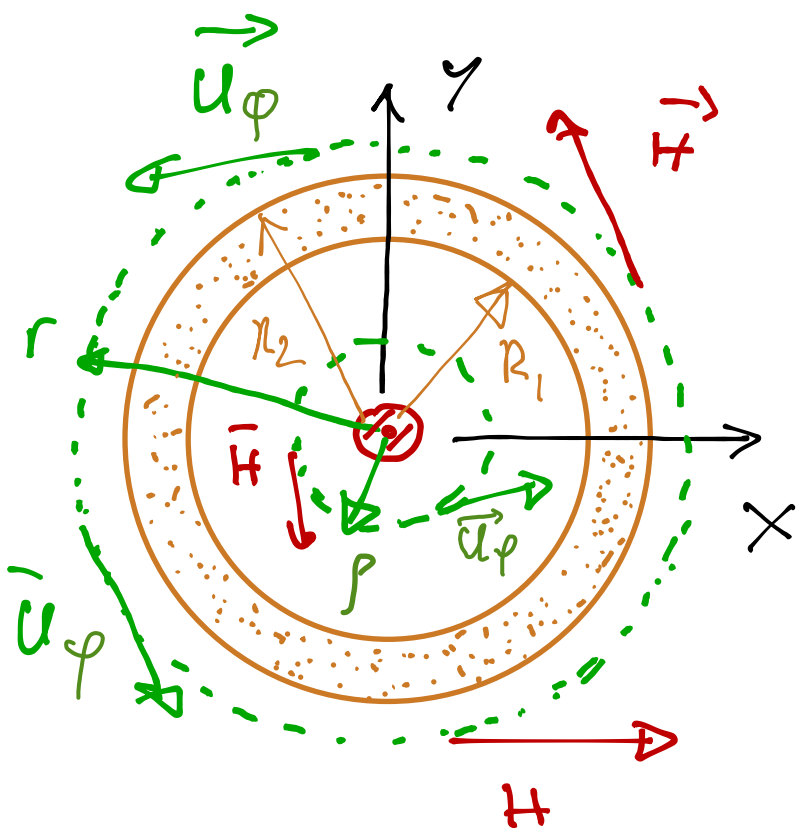


El sistema tiene geometría cilíndrica y lo resolvemos empleando la ley de Ampère. El medio es un material magnético lineal por lo que los vectores  $\vec{H}$  y  $\vec{B}$  son paralelos y por simetría tangentes a círculos de radio  $\rho$  en planos perpendiculares al eje  $Z$ , como se indica en el esquema del enunciado.

Prob. 8.3



En el dibujo el espacio está dividido en tres zonas con el hilo conductor de sección despreciable.

Aplicamos en cada una de ellas la ley de Ampère.

(1) Para  $\rho > R_2$  fijo si  $I_c$  es la corriente de conducción ("libre") que circula por el hilo

$$\oint_C \vec{H} \cdot d\vec{l} = I_c \rightarrow d\vec{l} = dl \vec{u}_\phi \quad \text{y} \quad \vec{H} = H \vec{u}_\phi$$

*a lo largo del círculo  $\vec{H}$  es de.*

$$\oint_C \vec{H} \cdot d\vec{l} = \int_C |\vec{H}| dl = H (2\pi\rho) = I_c \rightarrow H = \frac{I_c}{2\pi\rho} \vec{u}_\phi$$

Al ser un material lineal  $\vec{B} = \mu_0 \mu_r \vec{H}$  y  
 como  $\mu_r = 1$  en el vacío  

$$\vec{B} = \mu_0 \vec{H} = \frac{\mu_0 I_c}{2\pi r} \vec{u}_\varphi$$
 recuperamos la expresión  
 de  $\vec{B}$  para un hilo  
 recto infinito.

En esta zona  $\vec{M} = 0$  puesto que

$$\vec{M} = \frac{\mu_r - 1}{\mu_0 \mu_r} \vec{B} \quad \text{y} \quad \mu_r = 1 \quad \text{para} \quad r > R_2$$

(2) Dentro del material  $R_2 \geq r \geq R_1$  y de nuevo  
 por simetría  $\vec{H} = H \vec{u}_\varphi$  y

$$\oint_C \vec{H} \cdot d\vec{\ell} = \oint_C H d\ell = H (2\pi r) = I_c \rightarrow H = \frac{I_c}{2\pi r} \vec{u}_\varphi$$

Ahora  $\mu_r \neq 1$  luego  $\vec{B} = \mu_0 \mu_r \vec{H} = \frac{\mu_0 \mu_r I_c}{2\pi r} \vec{u}_\varphi$

El vector magnetotaxis es

$$\vec{M} = \frac{\mu_r - 1}{\mu_0 \mu_r} \vec{B} = (\mu_r - 1) \frac{I_c}{2\pi r} \vec{u}_\varphi$$

Podemos calcular las densidades superficiales de  
 corriente  $\vec{J}_m^s$  en los radios  $R_1$  y  $R_2$  y la densidad  
 volumétrica de carga  $\vec{J}_m^v = \nabla \times \vec{M}$ .

Para la superficies en  $r = R_1$  y  $r = R_2$

$$\vec{J}_m^s(R_1) = \vec{M}(R_1) \wedge (-\vec{u}_\rho)$$

$$\vec{J}_m^s(R_1) = (\mu_r - 1) \frac{I_c}{2\pi R_1} [\vec{u}_\varphi \wedge (-\vec{u}_\rho)]$$

$$\vec{J}_m^s(R_1) = (\mu_r - 1) \frac{I_c}{2\pi R_1} [\vec{u}_\rho \wedge \vec{u}_\varphi] \quad \text{con } \vec{u}_\rho \wedge \vec{u}_\varphi = \vec{u}$$

$$\vec{J}_m^s(R_1) = (\mu_r - 1) \frac{I_c}{2\pi R_1} \vec{u}$$

y en la otra superficie.

$$\vec{J}_m^s(R_2) = \vec{M}(R_2) \wedge \vec{u}_\rho = (\mu_r - 1) \frac{I_c}{2\pi R_2} (\vec{u}_\varphi \wedge \vec{u}_\rho)$$

$$\vec{J}_m^s(R_2) = -(\mu_r - 1) \frac{I_c}{2\pi R_2} \vec{u}$$

Aunque no lo piden en el problema calculamos la corriente volumétrica  $\vec{J}_m^v = \nabla \wedge \vec{M}$

$$\vec{J}_m^v = \nabla \wedge \vec{M} = \frac{1}{\rho} \begin{vmatrix} \vec{u}_\rho & \rho \vec{u}_\varphi & \vec{u}_z \\ \frac{\partial}{\partial \rho} & \frac{\partial}{\partial \varphi} & \frac{\partial}{\partial z} \\ M_\rho & \rho M_\varphi & M_z \end{vmatrix}$$

son las componentes de  $\vec{M} = M_\rho \vec{u}_\rho + M_\varphi \vec{u}_\varphi + M_z \vec{u}_z$

$$\vec{J}_m^v = (\mu_r - 1) \frac{I_c}{2\pi} \left( \begin{array}{c} 1 \\ \rho \end{array} \right) \left( \begin{array}{ccc} \bar{u}_\rho & \rho \bar{u}_\varphi & \vec{v}_s \\ \partial/\partial \rho & \partial/\partial \varphi & \partial/\partial z \\ 0 & \rho \times \frac{1}{\rho} & 0 \end{array} \right) = 0$$

loop

$$\vec{J}_m^v = 0$$